

1
2
3
4
5
6
7
8
9
10
11
12
13
14
15
16
17
18
19
20
21
22
23
24
25
26
27
28
29
30
31
32
33
34
35
36
37
38
39
40
41
42
43
44
45
46
47
48
49
50
51
52
53
54
55
56
57
58
59
60
61
62
63
64
65
66
67
68
69
70
71
72
73
74
75
76
77
78
79
80
81
82
83
84
85
86
87
88
89
90
91
92
93
94
95
96
97
98
99
100

$\delta V1-1$

δPKC MAPFLRISF NSYELGSLQA EDDASQPFCA VKMKEALTTD RGKTLVQKKP TMYPEW
 θPKC MSPFLRIGL SNFDGSCQS CQGEAVNPYCA VLVKEYVESE NGQMYIQKKP TMYPPW

$\psi\epsilon R$

KSTF DAHIYEGRVI QIVLMRAAED PMSEVTVGVS VLAERCKNN GKAEFWLDL QPQAKVLMCV QYFLE
DSTF DAHINKGRVM QIIVKGKNVD LISETTVELY, SLAERCRKNN GKTEIWLEL KPQGRMLMNA RYFLE

Fig. 1

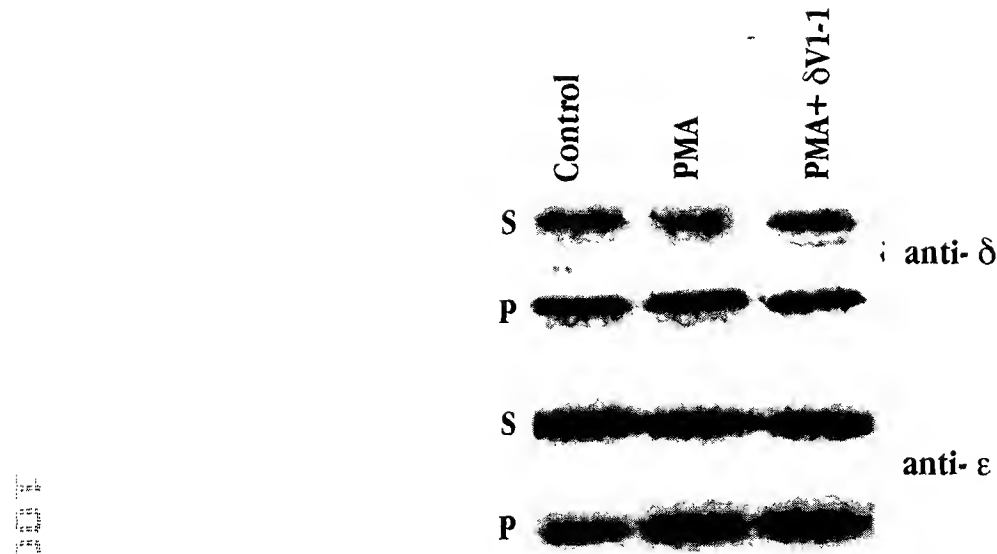


Fig. 2A

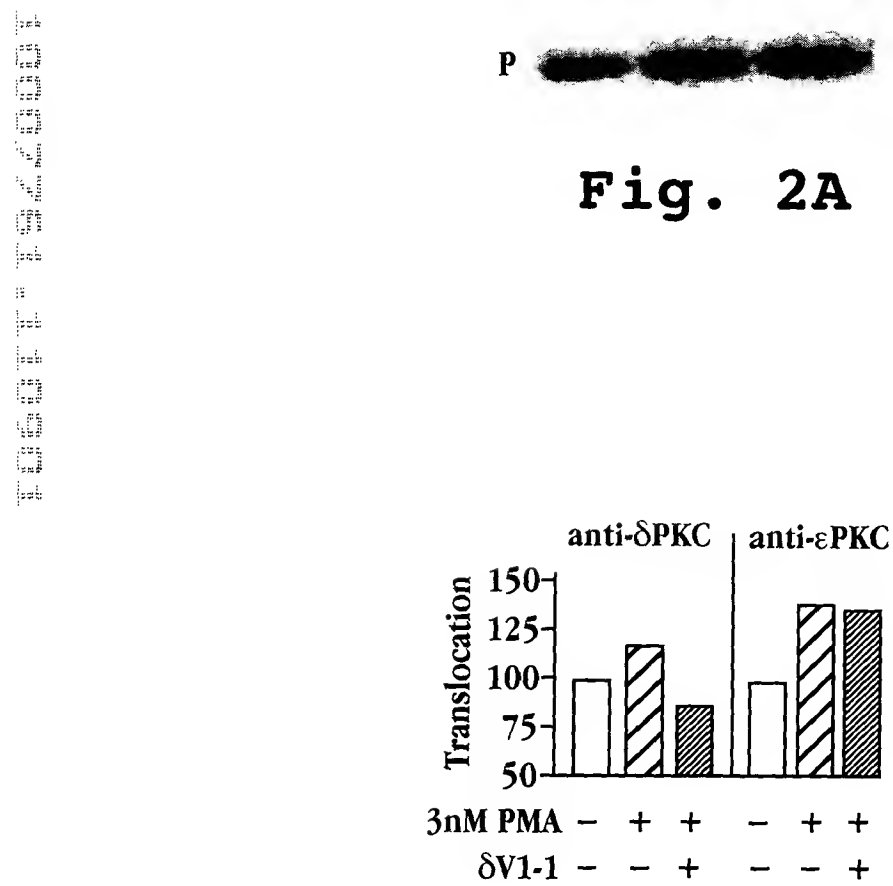


Fig. 2B

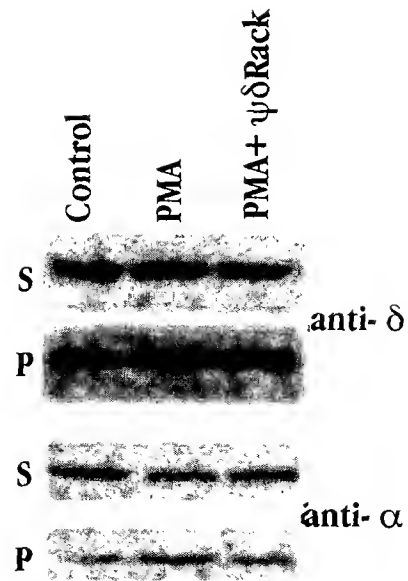


Fig. 3A

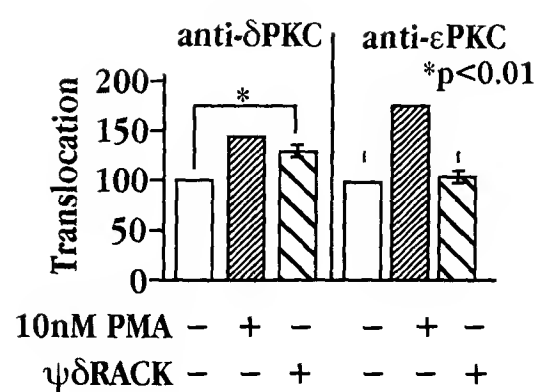


Fig. 3B

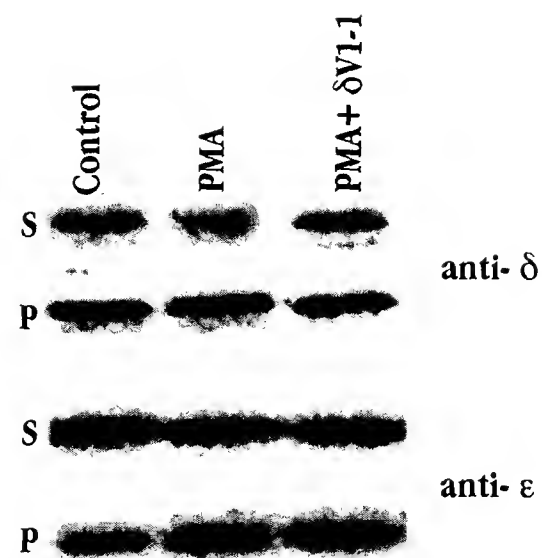


Fig. 4A

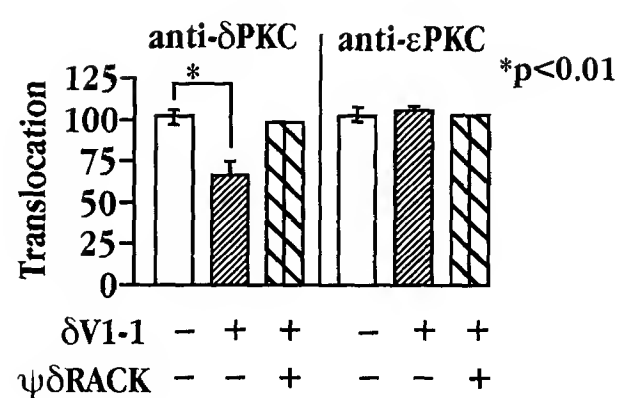


Fig. 4B

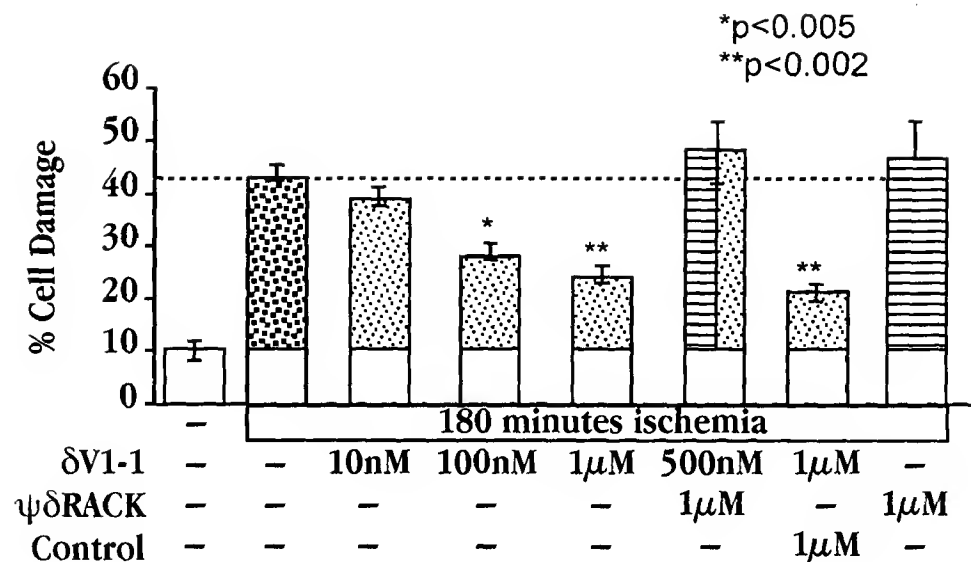


Fig. 5A

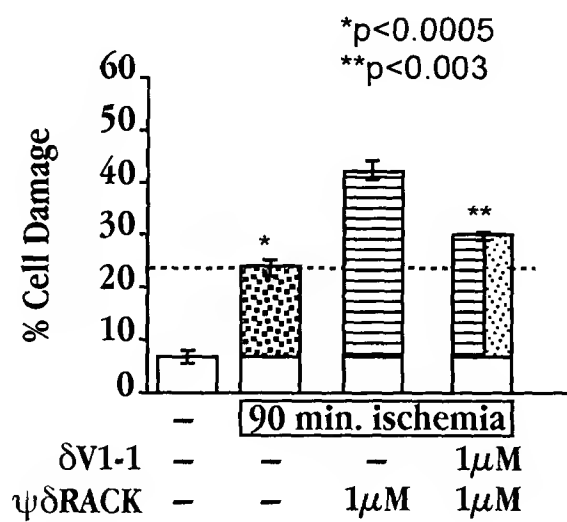


Fig. 5B

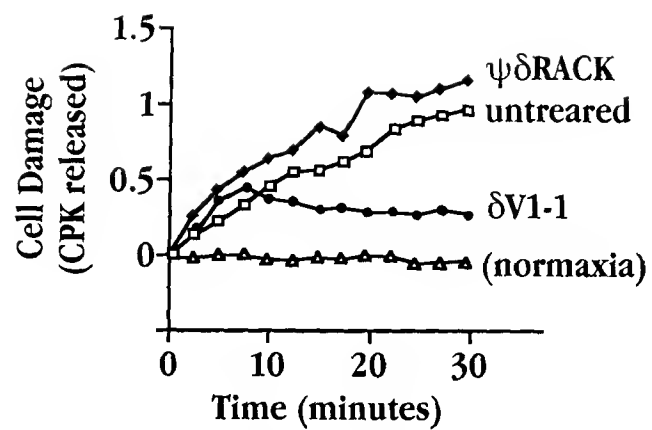


Fig. 6A

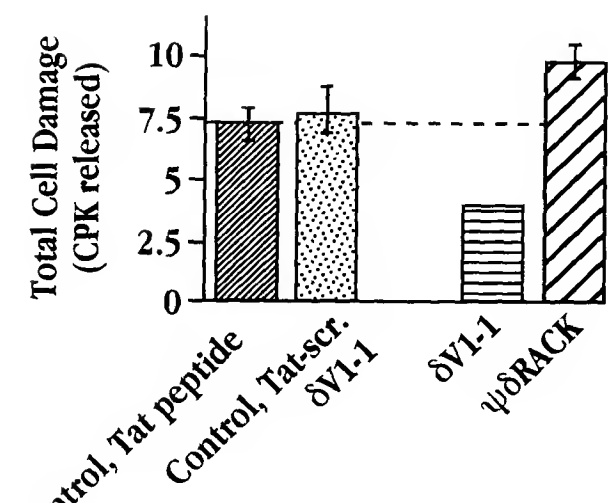


Fig. 6B

Global Ischemia Reperfusion $\delta V1-1$

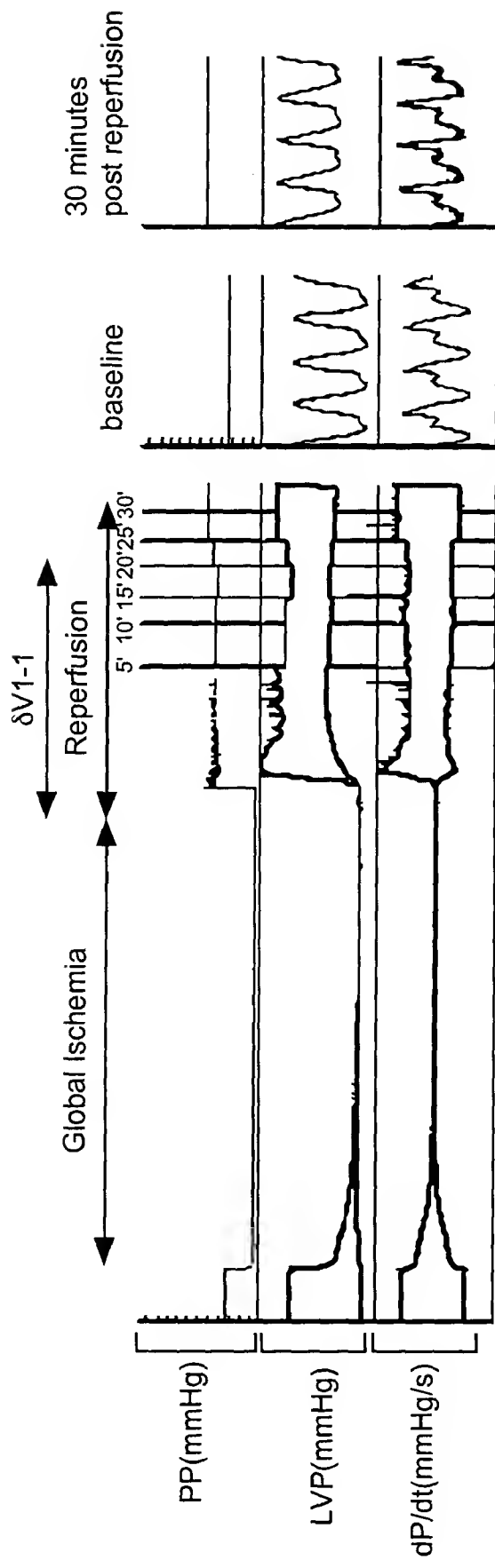


Fig. 7A

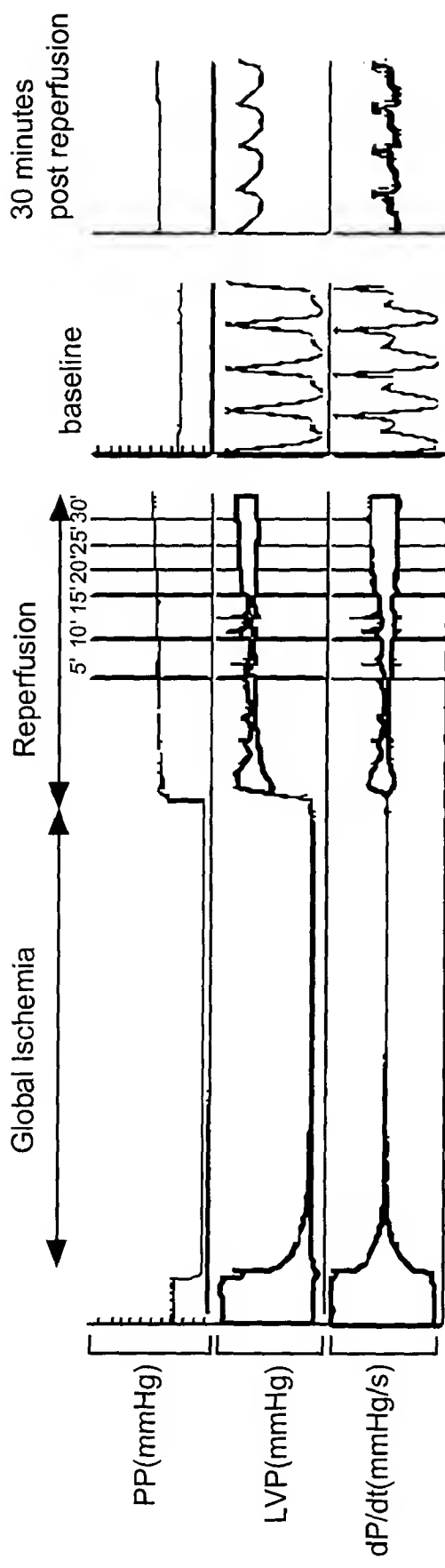


Fig. 7B

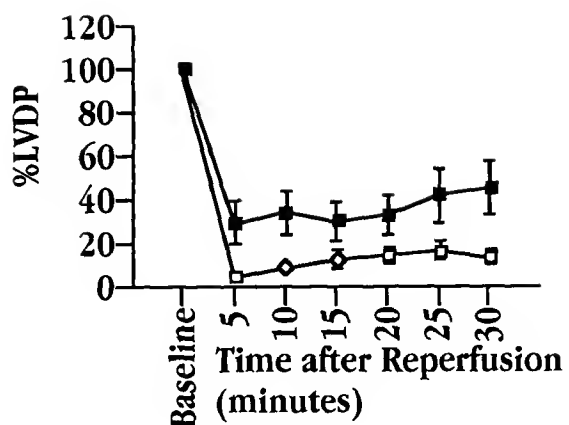


Fig. 8A

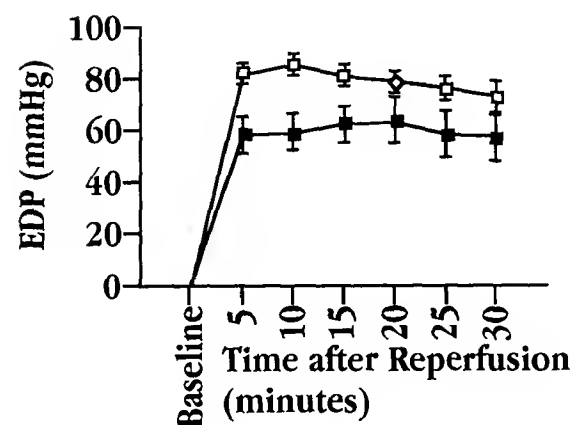


Fig. 8B

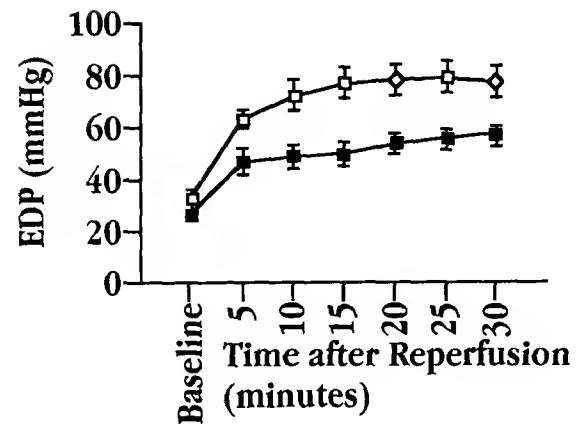


Fig. 8C

1000 900 800 700 600 500 400 300 200 100

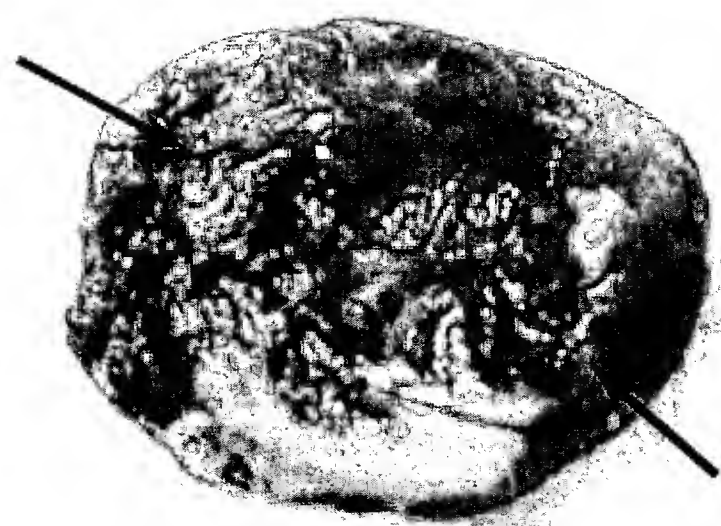


Fig. 9A

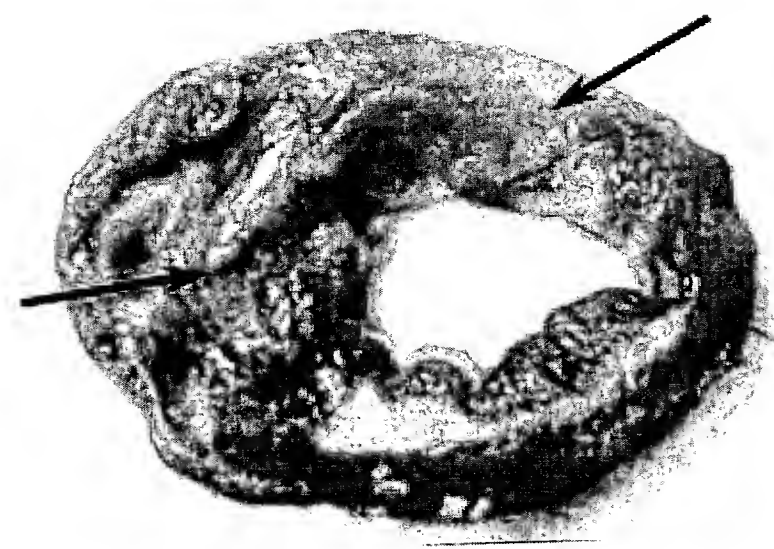


Fig. 9B

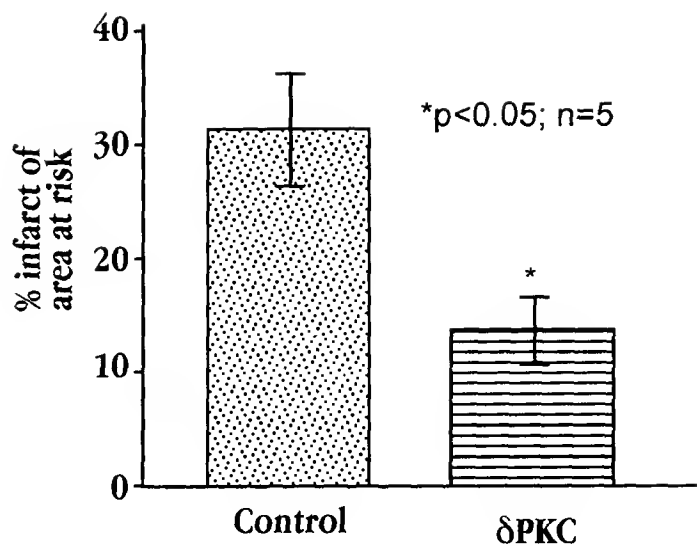


Fig. 9C

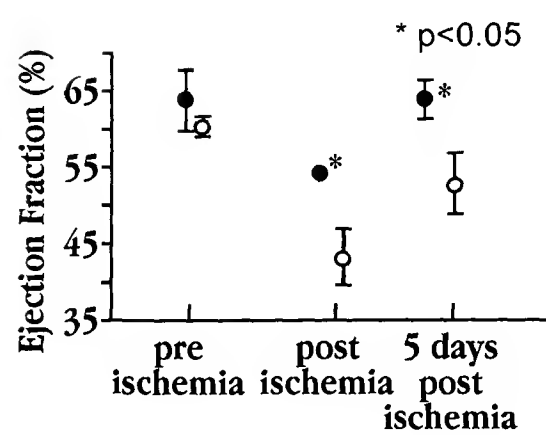


Fig. 10

1930-1931 - 1932 - 1933

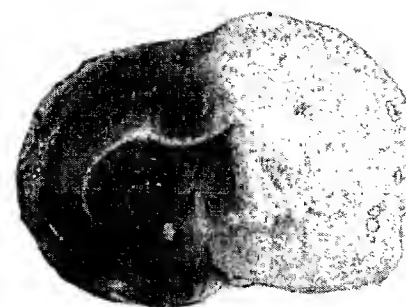


Fig. 11A

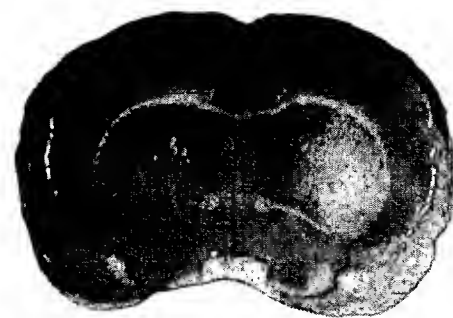


Fig. 11B